

تحلیلی از برآوردهای اندازه وابستگی دمی بالا

محمد امینی، هادی جباری نو قابی، مهلا فاسن نژاد فرسنگی

گروه آمار، دانشگاه فردوسی مشهد

تاریخ دریافت: ۱۳۹۱/۴/۲۴ تاریخ آخرین بازنگری: ۱۳۹۱/۱۱/۹

چکیده: در این مقاله سه نوع برآوردهای جدید به روش ناپارامتری برای اندازه وابستگی دمی بالا به دست آورده و نشان داده می‌شود که برآوردهای سازگار و به طور مجانبی ناریب هستند. سپس با شبیه‌سازی مونت کارلو از سه مفصل مختلف، این سه برآوردهای با هم مقایسه شده و با به کارگیری داده‌های واقعی روشهای جدید برای انتخاب بهترین برآوردهای ارائه می‌شود.

واژه‌های کلیدی: تابع مفصل، اندازه وابستگی دمی بالا، اندازه وابستگی دمی پایین، برآوردهای ناریب، سازگاری، شبیه‌سازی مونت کارلو.

۱ مقدمه

امروزه در شاخه‌های مختلف علمی، اندازه‌گیری وابستگی بین متغیرهای مختلف، حائز اهمیت است و ضرایب وابستگی مانند ρ پیرسون، ρ_s اسپیرمن، τ کندال، γ جینی و غیره هر کدام بنا به موقعیت و ویژگی‌های منحصر به فردی که دارند، مورد استفاده قرار می‌گیرند. امپرتس و همکاران (۲۰۰۲) نشان دادند که همیشه نمی‌توان از اندازه‌های وابستگی معمولی برای اندازه‌گیری وابستگی بین متغیرها استفاده کرد.

آدرس الکترونیک مسئول مقاله: مهلا فاسن نژاد فرسنگی، mafagh272@yahoo.com
کد موضوع‌بندی ریاضی (۲۰۱۰): ۶۲H۲۰

در واقع زمانی که توزیع جامعه نامشخص باشد یا زمانی که وابستگی بین متغیرها در یک برهه زمانی خاص (مانند زمان رخداد بحران‌ها) مورد نظر باشد، به نوع دیگری از اندازه‌های وابستگی نیاز است. اندازه‌ای که هم بتوان آن را بر حسب تابع مفصل بیان کرد و هم برای اندازه‌گیری میزان وابستگی در پیشامدهای فرین مناسب باشد. سیبیویا (۱۹۶۰) نوعی از اندازه‌های وابستگی را معرفی کرد که دارای ویژگی‌های فوق بوده و اندازه وابستگی دمی (قوی)^۱ نام گرفته است. این اندازه به دو نوع اندازه وابستگی دمی بالا و پایین تفکیک می‌شود که هر یک در فاصله [۱, ۵] قرار داردند. نزدیک شدن آن‌ها به یک بیانگر وابستگی قوی بوده و محدوده صفر، محدوده استقلال متغیرهاست. دوپریک و اسمیت (۲۰۰۵) سه نوع برآوردهای ناپارامتری برای اندازه وابستگی دمی پایین معرفی کرده و برخی از ویژگی‌های این برآوردهای از قبیل سازگاری و ناریبی مجانبی را مورد بررسی قرار دادند. در این تحقیق سه نوع برآوردهای برای اندازه وابستگی دمی بالا به دست آورده و نشان داده می‌شود که این برآوردهای سازگار و به طور مجانبی ناریب هستند. همچنین با شبیه‌سازی مونت‌کارلو رفتار مجانبی این سه برآورده در سه زمینه تحت بررسی (مفصل گامبل، ترکیب محدب مفصل‌های حاصل ضرب (u, v) و Π) و کران بالای فرشته $M(u, v)$ و مفصل نرمال دومتغیره) مورد مقایسه قرار می‌گیرد. در بخش ۲ تعاریف مورد نیاز ارائه می‌شود. بخش ۳ شامل معرفی برآوردهای جدید مربوط به اندازه وابستگی دمی بالا و طریقه به دست آوردن آن‌هاست. خواص برآوردهای از جمله خواص سازگاری و ناریبی مجانبی آن‌ها در بخش ۴ ارائه می‌شود. در این بخش به دو روش نموداری و محاسباتی، خواص برآوردهای مربوط به اندازه وابستگی دمی بالا مورد بررسی قرار می‌گیرد. در بخش ۵ روشی جدید برای انتخاب بهترین برآوردهای از بین سه برآوردهای مربوط به اندازه وابستگی دمی بالا، ارائه می‌شود. تمام شبیه‌سازی‌ها و محاسبات در محیط نرم افزار R انجام شده است.

^۱ Strong tail dependence measure

۲ اندازه های وابستگی دمی

اندازه های وابستگی دمی برای اندازه گیری میزان وابستگی بین متغیرها در پیشامدهای نادر مانند بحران های اقتصادی به کار می روند. همچنین کلایول و گاگن (۲۰۰۵)، با استفاده از این اندازه ها تأثیر متقابل بازارهای تجارتی کشورهای تایلند، مالزی و اندونزی در بحران اقتصادی سال ۱۹۹۰ را مورد بررسی قرار دادند. اندازه های وابستگی دمی که توسط سیبوبیا (۱۹۶۰) معرفی شدند، میزان وابستگی را در گوشش بالای سمت راست مربع I^2 (اندازه وابستگی دمی بالا) و گوشش پایین سمت چپ آن (اندازه وابستگی دمی پایین) اندازه می گیرند.

تعريف ۱ : فرض کنید X و Y متغیرهایی تصادفی با توابع توزیع F و G باشند. در صورتی که حدود ذکر شده موجود باشند، اندازه های وابستگی دمی بالا و پایین به صورت

$$\lambda_u = \lim_{t \rightarrow 1^-} P[Y > G^{-1}(t) \mid X > F^{-1}(t)], \quad (1)$$

$$\lambda_l = \lim_{t \rightarrow 0^+} P[Y \leq G^{-1}(t) \mid X \leq F^{-1}(t)] \quad (2)$$

نمایش داده می شوند. با نزدیک شدن t به ۱، اندازه دمی بالا برابر است با احتمال Y بزرگتر از صدک t ام توزیع G . به شرط این که X بزرگتر از صدک t ام توزیع F باشد. λ_u نیز به طریقی مشابه بیان می شود. اسکلار (۱۹۵۹) در قضیه معروف خود نشان داد اگر X و Y دو متغیر تصادفی با تابع توزیع توأم H و توابع توزیع حاشیه ای $H(x, y) = C(F(x), G(y))$ باشند، آنگاه مفصل C وجود دارد به قسمی که در آن اگر توابع توزیع F و G مطلقاً پیوسته باشند، مفصل C یکتاست. اگر C تابع مفصل بین X و Y باشد، در صورت وجود حدود موجود در (۱) و (۲) داریم

$$\lambda_u = 2 - \lim_{t \rightarrow 1^-} \frac{1 - C(t, t)}{1 - t}, \quad \lambda_l = \lim_{t \rightarrow 0^+} \frac{C(t, t)}{t}. \quad (3)$$

بنابراین طبق قضیه اسکلار (۱۹۵۹)، اندازه های وابستگی دمی بدون در دست داشتن تابع توزیع توأم موجود بین دو متغیر نیز قابل محاسبه هستند.

۳ معرفی برآوردهای λ_u

با توجه به این که مبنای محاسبه برآوردهای معرفی شده در این بخش تابع مفصل تجربی است، ابتدا این تابع معرفی می‌شود.

تعریف ۲ : اگر $(X_1, Y_1), \dots, (X_n, Y_n)$ نمونه‌ای تصادفی به حجم n از جامعه‌ای با تابع توزیع توأم پیوسته $H(x, y)$ باشد، آن‌گاه تابع

$$C_n\left(\frac{i}{n}, \frac{j}{n}\right) = \frac{x \leq x(i), y \leq y(j)}{n} \quad (4)$$

را مفصل تجربی نامند، که در آن $x(i)$ و $y(j)$ ($1 \leq i, j \leq n$) آماره‌های مرتب نمونه هستند. مفصل‌های تجربی اولین بار توسط دی هیولز (۱۹۷۹) با عنوان توابع وابستگی تجربی معرفی شدند. در ادامه این برآوردها برای مقادیر k نزدیک به n تعریف می‌شوند.

برآوردهای اول: اولین برآوردهای با استفاده از رابطه (۱) و با به کار گیری قضیه اسکلار به صورت

$$\begin{aligned} \hat{\lambda}_u &= \lim_{i \rightarrow n^-} P[Y > G^{-1}\left(\frac{i}{n}\right) | X > F^{-1}\left(\frac{i}{n}\right)] \\ &= \lim_{i \rightarrow n^-} \frac{P(X > F^{-1}\left(\frac{i}{n}\right), Y > G^{-1}\left(\frac{i}{n}\right))}{P(X > F^{-1}\left(\frac{i}{n}\right))} \\ &= \lim_{i \rightarrow n^-} \frac{\bar{H}(F^{-1}\left(\frac{i}{n}\right), G^{-1}\left(\frac{i}{n}\right))}{1 - \frac{i}{n}} \\ &= 2 - \lim_{i \rightarrow n^-} \frac{1 - C_n\left(\frac{i}{n}, \frac{i}{n}\right)}{1 - \frac{i}{n}}, \end{aligned}$$

به دست می‌آید. بنابراین

$$\hat{\lambda}_{u_{n,i}}^{(1)} = 2 - \lim_{i \rightarrow n^-} \frac{1 - C_n\left(\frac{i}{n}, \frac{i}{n}\right)}{1 - \frac{i}{n}}. \quad (5)$$

حد موجود در (۵) برای داده‌های جامعه واقعی قابل محاسبه نیست. در نتیجه $\hat{\lambda}_u$ به صورت

$$\hat{\lambda}_{u_{n,k}}^{(1)} = 2 - \frac{1 - C_n\left(\frac{k}{n}, \frac{k}{n}\right)}{1 - \frac{k}{n}} \quad (6)$$

معرفی می‌شود، که در آن $N \in k$ تابعی از n است و در داده‌های واقعی به روش کلایول و گاگن (۲۰۰۵) انتخاب می‌شود.

برآورده‌گر دوم: دومین برآورده‌گر پس از تعیین مدل رگرسیونی

$$C_n\left(\frac{i}{n}, \frac{i}{n}\right) = 1 - \left(1 - \frac{i}{n}\right)(2 - \lambda_u) + \varepsilon_i, \quad i = k, \dots, n$$

با جمله خطای ε و از روش کمترین توان‌های دوم به صورت

$$\hat{\lambda}_{u_{n,k}}^{(2)} = 2 - \frac{\sum_{i=k}^n (1 - \frac{i}{n})[1 - C_n(\frac{i}{n}, \frac{i}{n})]}{\sum_{i=k}^n (1 - \frac{i}{n})^2}, \quad (V)$$

به دست می‌آید. این رابطه رگرسیونی با توجه به تعریف λ_u به صورت

$$\lambda_u = 2 - \lim_{u \rightarrow 1} \frac{1 - C(u, u)}{1 - u}$$

$$(2 - \lambda_u)(1 - u) = 1 - C(u, u) + o(1 - u)$$

$$C(u, u) = 1 - (2 - \lambda_u)(1 - u) + \varepsilon_i$$

نتیجه می‌شود و برآورده‌گر مورد نظر با مشتق‌گیری از مجموع توان‌های دوم

$$L = \sum_{i=k}^n \varepsilon_i^2 = \sum_{i=k}^n [C_n(\frac{i}{n}, \frac{i}{n}) - [1 + (2 - \lambda_u)(1 - \frac{i}{n})]]^2,$$

و حل معادله

$$-2 \sum_{i=k}^n (1 - \frac{i}{n}) [C_n(\frac{i}{n}, \frac{i}{n}) - [1 + (2 - \lambda_u)(1 - \frac{i}{n})]] = 0$$

به صورت

$$\hat{\lambda}_{u_{n,k}}^{(2)} = 2 - \frac{\sum_{i=k}^n (1 - \frac{i}{n})[1 - C_n(\frac{i}{n}, \frac{i}{n})]}{\sum_{i=k}^n (1 - \frac{i}{n})^2},$$

به دست می‌آید. با توجه به تعریف λ_u در (۳) برای به دست آوردن برآورده‌گرها مقادیر i نزدیک به n ($i = k, \dots, n$) در نظر گرفته می‌شود.

برآوردهای سوم: برای محاسبه سومین برآوردهای مفصل C با ترکیب خطی محدب از مفصلهای M و W (کرانهای بالا و پایین فرشته)، به صورت

$$C(u, v) = \lambda_u M(u, v) + (1 - \lambda_u) W(u, v) \quad (\text{۸})$$

بازنویسی می‌شود. در واقع در بازنویسی مفصل C با یک ترکیب خطی از مفصلهای C_1 و C_2 و با در نظر گرفتن تعریف λ_u ، تنها در صورتی یک عبارت همواره صحیح حاصل خواهد شد که به جای مفصلهای C_1 و C_2 به ترتیب از مفصلهای M و W استفاده شود. پس از آن باید در نقطه $(\frac{i}{n}, \frac{i}{n})$ ، فاصله مفصل C در رابطه (۸) و مفصل تجربی موجود در رابطه (۴) مینیمم شود. یعنی $\hat{\lambda}_{u_{n,k}}^{(3)}$ ، با استفاده از رابطه

$$L = \min \sum_{i=k}^n \left\{ C_n \left(\frac{i}{n}, \frac{i}{n} \right) - \left[\lambda_u \frac{i}{n} + (1 - \lambda_u) \max \left(2 \frac{i}{n} - 1, 0 \right) \right] \right\}^2$$

به دست می‌آید. با توجه به تعریف λ_u ، برآوردهای $\hat{\lambda}_{u_{n,k}}^{(3)}$ به ازای مقادیر k نزدیک به n و در فاصله $\frac{n}{2} < k < n - \sqrt{n}$ ($n > 4$) تعریف شدند، بنابراین $\max[2 \frac{i}{n} - 1, 0] = 2 \frac{i}{n} - 1$

$$\frac{\partial L}{\partial \lambda_u} = \frac{\partial \sum_{i=k}^n \left\{ C_n \left(\frac{i}{n}, \frac{i}{n} \right) - \left[\lambda_u \left(1 - \frac{i}{n} \right) + \left(2 \frac{i}{n} - 1 \right) \right] \right\}^2}{\partial \lambda_u} = 0$$

که از آن برآوردهای

$$\hat{\lambda}_{u_{n,k}}^{(3)} = \frac{\sum_{i=k}^n \left(1 - \frac{i}{n} \right) [C_n \left(\frac{i}{n}, \frac{i}{n} \right) - (2 \frac{i}{n} - 1)]}{\sum_{i=k}^n \left(1 - \frac{i}{n} \right)^2}, \quad (9)$$

حاصل می‌شود.

۴ خواص برآوردهای

در این بخش، خواص مجانبی برآوردهای λ_u با استفاده از قضایا و تحلیلهای نموداری برگرفته از شبیه‌سازی مونت کارلو بیان می‌شوند.

قضیه ۱ : اگر $C(u, v)$ یک مفصل مطلقاً پیوسته و $\{X_n, Y_n\}$, $n \geq 1$, یک دنباله از بردارهای تصادفی مستقل، هم توزیع و دارای مفصل متناظر C باشد، آنگاه در صورت برقراری $\dim_{n \rightarrow \infty} \frac{k}{n} = 1$, با بزرگ شدن n داریم

$$\lim_{n \rightarrow \infty} P(|\hat{\lambda}_{u_n, k}^{(i)} - \lambda_u| \geq \epsilon) = 0, \quad \lim_{n \rightarrow \infty} E(\hat{\lambda}_{u_n, k}^{(i)}) = \lambda_u \quad i = 1, 2, 3$$

به عبارت دیگر هر سه برآوردگر مربوط به λ_u , برآوردگرهایی سازگار و به طور مجانبی ناریب هستند.
برهان در ابتدا سازگاری برآوردگر نوع (۱) بررسی می‌شود.

$$\begin{aligned} \hat{\lambda}_{u_n, k}^{(1)} &= \frac{1 - \frac{2k}{n} + C_n(\frac{k}{n}, \frac{k}{n})}{1 - \frac{k}{n}} \\ &= \frac{1 - \frac{2k}{n} + C(\frac{k}{n}, \frac{k}{n})}{1 - \frac{k}{n}} + \frac{C_n(\frac{k}{n}, \frac{k}{n}) - C(\frac{k}{n}, \frac{k}{n})}{1 - \frac{k}{n}} \\ &= \frac{1 - \frac{2k}{n} + C(\frac{k}{n}, \frac{k}{n})}{1 - \frac{k}{n}} + \frac{\sqrt{n}}{n - k} \sqrt{n} [C_n(\frac{k}{n}, \frac{k}{n}) - C(\frac{k}{n}, \frac{k}{n})] \\ &= [1] + [2]. \end{aligned}$$

که در آن k هم‌زمان با افزایش n به n نزدیک می‌شود. سرعت نزدیک شدن k به $k < n - \sqrt{n}$ کمتر از سرعت نزدیک شدن n به بی‌نهایت است و همواره رابطه برقرار است. چون $n = \dim_{n \rightarrow \infty} k$, داریم

$$[1] = \lim_{u \rightarrow 1} \frac{1 - 2u + C(u, u)}{1 - u} = \lambda_u.$$

با افزایش n , جمله [۲] به صفر همگراست. زیرا بنابر $\lim_{n \rightarrow \infty} k = n$ و قضیه حدی تابعی^۲ (فرمانی و همکاران, ۲۰۰۴) برای توابع مفصل داریم

$$\sqrt{n} [C_n(\frac{k}{n}, \frac{k}{n}) - C(\frac{k}{n}, \frac{k}{n})] \rightarrow G_c(1, 1).$$

که در آن $(1, 1)G_c$ یک متغیر تباہیده در نقطه یک است. از طرف دیگر چون $k < n - \sqrt{n}$

$$\lim_{n \rightarrow \infty} \frac{\sqrt{n}}{n - k} = 0.$$

^۲ Functional limit theorem

برای برآوردهای نوع (۲) داریم

$$\begin{aligned}\hat{\lambda}_{u_{n,k}}^{(2)} &= \frac{\sum_{i=k}^n (\lambda - \frac{i}{n})^2 - \sum_{i=k}^n (\lambda - \frac{i}{n}) + \sum_{i=k}^n (\lambda - \frac{i}{n}) C_n(\frac{i}{n}, \frac{i}{n})}{\sum_{i=k}^n (\lambda - \frac{i}{n})^2} \\ &= \frac{\sum_{i=k}^n (\lambda - \frac{i}{n}) [\lambda - \frac{i}{n} - 1 + C_n(\frac{i}{n}, \frac{i}{n})]}{\sum_{i=k}^n (\lambda - \frac{i}{n})^2}.\end{aligned}$$

چون $k = n$ و $k \leq i \leq n$ مقدار i به n نزدیک باشند، بنابراین با افزایش n $\dim_{n \rightarrow \infty} k = n$ می‌شود. به علاوه چون

$$\lim_{i \rightarrow n} \frac{\lambda - \frac{i}{n} + C_n(\frac{i}{n}, \frac{i}{n}) - \lambda_u(\lambda - \frac{i}{n})}{\lambda - \frac{i}{n}} = \lambda_u - \lambda_u = 0,$$

داریم

$$\lambda - \frac{i}{n} + C_n(\frac{i}{n}, \frac{i}{n}) - \lambda_u(\lambda - \frac{i}{n}) = o(\lambda - \frac{i}{n}).$$

بنابراین با جایگذاری

$$C_n(\frac{i}{n}, \frac{i}{n}) = \lambda_u(\lambda - \frac{i}{n}) - \lambda + \frac{i}{n} + o(\lambda - \frac{i}{n}) \quad (10)$$

در $\hat{\lambda}_{u_{n,k}}^{(2)}$ داریم

$$\begin{aligned}\hat{\lambda}_{u_{n,k}}^{(1)} &= \frac{\sum_{i=k}^n (\lambda - \frac{i}{n}) [\lambda - \frac{i}{n} - 1 + [\lambda_u(\lambda - \frac{i}{n}) - \lambda + \frac{i}{n} + o(\lambda - \frac{i}{n})]]}{\sum_{i=k}^n (\lambda - \frac{i}{n})^2} \\ &= \lambda_u + \frac{\sum_{i=k}^n (\lambda - \frac{i}{n}) o(\lambda - \frac{i}{n})}{\sum_{i=k}^n (\lambda - \frac{i}{n})^2} \\ &= \lambda_u + \frac{\sum_{i=k}^n (\lambda - \frac{i}{n})^2 (\frac{o(\lambda - \frac{i}{n})}{\lambda - \frac{i}{n}})}{\sum_{i=k}^n (\lambda - \frac{i}{n})^2},\end{aligned}$$

که جمله دوم با افزایش n به صفر همگراست. برای برآوردهای نوع (۳) نیز به طریقی مشابه با جایگذاری رابطه (10) در $\hat{\lambda}_{u_{n,k}}^{(3)}$ داریم

$$\begin{aligned}\hat{\lambda}_{u_{n,k}}^{(1)} &= \frac{\sum_{i=k}^n (\lambda - \frac{i}{n}) [C_n(\frac{i}{n}, \frac{i}{n}) + (\lambda - \frac{i}{n})]}{\sum_{i=k}^n (\lambda - \frac{i}{n})^2} \\ &= \frac{\sum_{i=k}^n (\lambda - \frac{i}{n}) [[\lambda_u(\lambda - \frac{i}{n}) - \lambda + \frac{i}{n} + o(\lambda - \frac{i}{n})] + (\lambda - \frac{i}{n})]}{\sum_{i=k}^n (\lambda - \frac{i}{n})^2} \\ &= \lambda_u + \frac{\sum_{i=k}^n (\lambda - \frac{i}{n})^2 (\frac{o(\lambda - \frac{i}{n})}{\lambda - \frac{i}{n}})}{\sum_{i=k}^n (\lambda - \frac{i}{n})^2}.\end{aligned}$$

که در اینجا نیز جمله دوم با افزایش n به صفر همگر است.

با توجه به این که تمامی برآوردهای معرفی شده سازگار هستند، $\hat{\lambda}_{u_{n,k}}^{(i)}$ در احتمال به λ_u همگر است. از طرفی چون اندازه‌های وابستگی دمی در فاصله $[1, 5]$ واقع می‌شوند، برآوردهای آنها نیز در این فاصله قرار دارند. بنابراین $|\hat{\lambda}_{u_{n,k}}^{(i)} - \lambda_u| \leq 1$ و در نتیجه $(\hat{\lambda}_{u_{n,k}}^{(i)} - \lambda_u)$ ، انتگرال پذیر یکنواخت است و طبق روابط همگرایی داریم

$$\lim_{n \rightarrow \infty} P(|\hat{\lambda}_{u_{n,k}}^{(i)} - \lambda_u| \geq \epsilon) = 0, \quad 0 \leq \lambda_u \leq 1 \text{ a.e.}, \quad i = 1, 2, 3$$

بنابراین $\lambda_u \rightarrow E(\hat{\lambda}_{u_{n,k}}^{(i)})$ ، یعنی این برآوردها به‌طور مجانبی نااریب هستند.

۱.۴ بررسی خواص برآوردهای $\hat{\lambda}_{u_{n,k}}^{(i)}$

برای بررسی خواص برآوردهای $\hat{\lambda}_{u_{n,k}}^{(i)}$ ($i = 1, 2, 3$)، از طریق شبیه‌سازی مونت‌کارلو در نمونه‌های متناهی، سه مجتمعه متفاوت خانواده مفصل گامبل (گامبل، ۱۹۶۰)، خانواده ترکیب محدب M و \prod و خانواده مفصل نرمال با توابع مفصل زیر در نظر گرفته می‌شود. خانواده مفصل گامبل:

$$C_{1\theta}(u, v) = \exp \left\{ - [(-\log(u))^\theta + (-\log(v))^\theta]^{1/\theta} \right\}, \quad \theta \geq 1$$

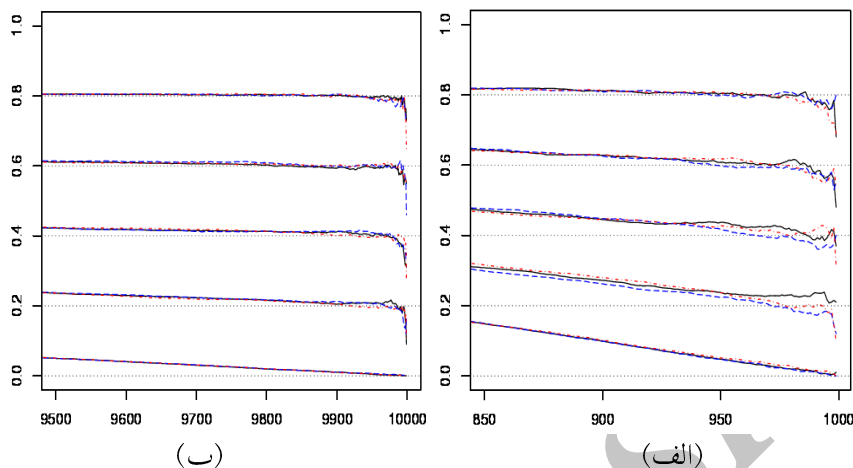
خانواده ترکیب محدب \prod و:

$$C_{2\theta}(u, v) = \theta M(u, v) + (1 - \theta) \prod(u, v), \quad 0 \leq \theta \leq 1$$

خانواده مفصل نرمال:

$$C_\rho(u, v) = \int_{-\infty}^{\Phi^{-1}(u)} \int_{-\infty}^{\Phi^{-1}(v)} \frac{1}{2\pi\sqrt{1-\rho^2}} \exp \left(-\frac{s^2 - 2\rho st + t^2}{2(1-\rho^2)} \right) ds dt.$$

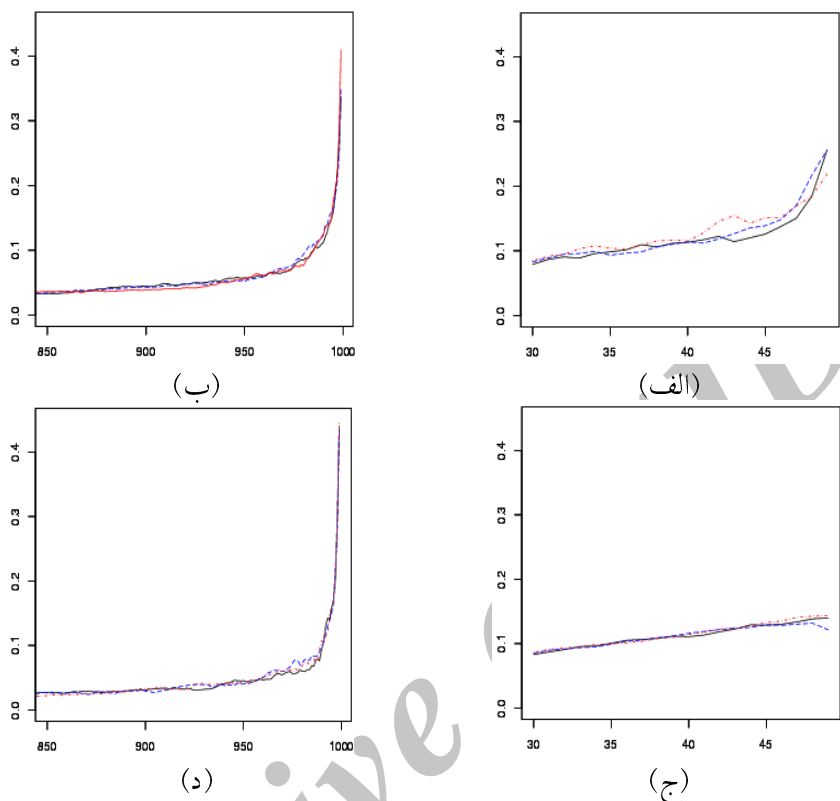
در شکل ۱ برای تحلیل اریبی برآوردهای $\hat{\lambda}_{u_{n,k}}^{(i)}$ با شبیه‌سازی مونت کارلو از مفصل گامبل مقادیر $E(\hat{\lambda}_{u_{n,k}}^{(i)})$ در مقابل k رسم شده‌اند. تعداد دفعات شبیه‌سازی



شکل ۱: میانگین‌های $100 \times$ بار شبیه‌سازی مونت کارلو از $E(\hat{\lambda}_{u,n,k}^{(i)})$ ، $i = 1, 2, 3$ برای مجموعه اول با $n = 10000$ و $\lambda_u = 0.0/8, 0.0/6, 0.0/4, 0.0/2, 0.0/0$ الف: $n = 1000$ و ب:

$B = 100$ در نظر گرفته شده و از نماد خطوط پیوسته برای $E(\hat{\lambda}_{u,n,k}^{(1)})$ ، خط چین برای $E(\hat{\lambda}_{u,n,k}^{(2)})$ و نقطه چین برای $E(\hat{\lambda}_{u,n,k}^{(3)})$ استفاده شده است. محدوده رسم نمودار، مقادیر k نزدیک به n می‌باشد و با توجه به نمودارها نیز این مطلب قابل تأیید است که k تابعی از n بوده و با افزایش n همواره به آن نزدیک می‌شود.

هر سه برآوردهای اریب هستند و میزان اریبی آنها به λ_u و n بستگی دارد. با افزایش λ_u از اریبی برآوردهای کاسته می‌شود. در مقادیر k کوچک، اریبی مشبت و بهزادی مقادیر k نزدیک به n اریبی منفی است. به طور کلی رفتار سه برآوردهای $\hat{\lambda}_{u,n,k}^{(i)}$ بسیار نزدیک بهم بوده و با بزرگ شدن مقدار n ، نمودارهای مربوط به آنها تقریباً منطبق بر هم خواهد شد. با افزایش حجم نمونه، اریبی برآوردهای کا اندادهای کاهش می‌یابد و می‌توان گفت اگر n به اندازه‌ی کافی بزرگ باشد، برآوردهای نااریب خواهند بود. انحراف معیار برآوردهای مجموعه اول در شکل ۲ نمایش داده شده‌اند. نمودارهای ۲.الف بهزادی $(n, \lambda_u) = (50, 0/2)$ ، ۲.ب بهزادی $(n, \lambda_u) = (1000, 0/2)$ ، ۲.ج بهزادی $(n, \lambda_u) = (50, 0/8)$ و ۲.د بهزادی $(n, \lambda_u) = (1000, 0/8)$ رسم شده‌اند. انحراف معیار سه برآوردهای بسیار به هم نزدیک هستند و با افزایش n میزان این انطباق بیشتر می‌شود. با افزایش k انحراف



شکل ۲: انحراف معیار 10^0 بار شبیه‌سازی مونت‌کارلو از $\lambda_{u,n,k}^{(i)}$ در مجموعه اول به ازای مقادیر $\lambda_u = 0/2, 0/8$

معیار برآوردها افزایش می‌یابد و میزان آن در مقادیر k ی بزرگتر از $\sqrt{n} - m$ رشد چشمگیری دارد. انحراف معیار و اریبی برآوردها برای مجموعه‌های دوم و سوم نیز بررسی شده‌اند. طبق نتایج به دست آمده، مقادیر بزرگتر λ_u ، انحراف معیار بیشتری به همراه دارد در حالی که در مجموعه اول تأثیر مقدار λ_u ، ناچیز است. همچنین افزایش n در مجموعه‌های دوم و سوم، انحراف معیار سه برآورده را کاهش می‌دهد. در هر سه مجموعه به ازای مقادیر کوچک k ، انحراف معیار برآوردها کاهش می‌یابد. میزان اریبی برآوردها در نمودارهای مربوط به ترکیب خطی محدب دو مفصل $M(u, v)$ و $\Pi(u, v)$ مفصل نرمال به طریق مشابهی تحلیل می‌شود. در نمودارهای مفصل نرمال میزان اریبی برآوردها بیشتر است. به ازای

$\circ = \mu$, اریبی مثبت و در $8/\circ = \mu$, اریبی منفی است. چون اریبی و انحراف معیار سه برآورده‌گر در شبیه‌سازی‌های انجام شده بسیار نزدیک به هم هستند، از طریق این معیارها نمی‌توان بهترین برآورده‌گر را در حالت کلی تعیین کرد. در نتیجه بهترین برآورده‌گر بنا به داده‌های موجود در مسأله تعیین می‌شود. در بخش بعد روشی جدید برای انتخاب بهترین برآورده‌گر از بین برآوردهای λ_u و برآوردهای جدید λ_u برای داده‌های یک مثال کاربردی ارایه می‌شود.

۵ مثال کاربردی

برای مشخص کردن بهترین برآورده‌گر از بین سه برآورده‌گر ارائه شده، داده‌های مربوط به ۱۹۳۴ مورد از برگشت‌های روزانه نرخ ارز کشورهای آمریکا، تایلند و مالزی بر حسب یورو در دوره زمانی اول ژانویه ۲۰۰۴ تا پانزدهم جولای ۲۰۱۱ موجود در پایگاه بانک مرکزی اروپا بررسی می‌شود. کلایول و گاگن (۲۰۰۵)، بهترین مقدار k که به‌ازای آن می‌توان λ_u و λ_u , را به صورت تجربی برآورد کرد، \circ نامیده و آن را با توجه به رابطه (۳)، برای λ_u و λ_u به صورت جداگانه محاسبه کردند. براساس روش دوپریک و اسمیت (۲۰۰۵)، در محاسبه برآوردهای $\hat{\lambda}_{l_{n,k}}^{(i)}$, با افزایش حجم نمونه، مقدار $\circ k$ (تابعی از نمونه‌ی تصادفی است که بهترین مقدار را برای $\hat{\lambda}_{l_{n,k}}^{(i)}$ و $\hat{\lambda}_{u_{n,k}}^{(i)}$ تخمین می‌زند) تقریباً برابر با \sqrt{n} می‌باشد. طبق مطالعات تجربی که بر روی داده‌های واقعی انجام شده است، نتایج زیر حاصل شده‌اند.

- ۱- برای برآوردهای مربوط به λ_u ، مقدار $\circ k$ با افزایش حجم نمونه تقریباً برابر با $95n^0$ است.
- ۲- مقدار $\circ k$ به دست آمده برای λ_u و λ_u , نزدیک به \circ به دست آمده توسط کلایول و گاگن (۲۰۰۵) است.

بنابراین بهترین برآورده‌گر آن است که مقادیر آن در نقاط $\circ k$ و \circ , نزدیک به هم باشد که به‌طریق زیر تعیین می‌شود:

ابتدا مقادیر $(k_0, \hat{\lambda}_{l_{n,k}}^{(i)})$ و $(k_0, \hat{\lambda}_{u_{n,k}}^{(i)})$ که در آن‌ها مقدار $\circ k$ برای اندازه وابستگی دمی پایین و بالا به‌ترتیب برابر با \sqrt{n} و $95n^0$ است، محاسبه می‌شوند.

از بین برآوردهای مربوط به $\hat{\lambda}_{l_{n,k}}^{(i)}$ ، برآوردهای $\hat{\lambda}_{l_{n,k}}^{(i)}(k_0) - \hat{\lambda}_{l_{n,k}}^{(i)}(i_0)$ مقداری کوچک‌تر داشته باشد. به عبارت دیگر به ازای آن برآوردهای $\hat{\lambda}_{l_{n,k}}^{(i)}$ و $\hat{\lambda}_{l_{n,k}}^{(i)}(k_0)$ بیکدیگر نزدیک‌تر باشند. بهترین برآوردهای مربوط به $\hat{\lambda}_{u_{n,k}}^{(i)}$ نیز به طریق مشابه انتخاب می‌شود.

طبق مطالعه ذکر شده و با توجه به جدول ۲، در داده‌های مربوط به آمریکا-تایلند، آمریکا-مالزی و آمریکا-سنگاپور، از بین $\hat{\lambda}_{l_{n,k}}^{(i)}$ ها به ترتیب $\hat{\lambda}_{l_{n,k}}^{(1)}$ ، $\hat{\lambda}_{l_{n,k}}^{(2)}$ و $\hat{\lambda}_{l_{n,k}}^{(3)}$ و از بین $\hat{\lambda}_{u_{n,k}}^{(i)}$ ها به ترتیب $\hat{\lambda}_{u_{n,k}}^{(1)}$ ، $\hat{\lambda}_{u_{n,k}}^{(2)}$ و $\hat{\lambda}_{u_{n,k}}^{(3)}$ بهتر از بقیه عمل می‌کنند.

جدول ۱: اندازه وابستگی دمی پایین در داده‌های نرخ ارز

کشورها	برآوردهای	$\frac{i}{n}$	i_0	$\hat{\lambda}_{l_{n,k}}^{(i)}(i_0)$	اختلاف برآوردها
آمریکا-تایلند	اول	۰/۰۱۷	۵۶/۱	۰/۰۸۹	۰/۰۱۷
	دوم	۰/۰۲۹	۵۹/۹	۰/۰۷۲	۰/۰۲۱
	سوم	۰/۰۳۱	۸۵/۱	۰/۰۵۳	۰/۰۰۴
آمریکا-مالزی	اول	۰/۰۴۴	۷۲/۵	۰/۰۶۵۱	۰/۰۳۰۹
	دوم	۰/۰۴۲	۷۵/۴	۰/۰۶۸۲	۰/۰۳۱۶
	سوم	۰/۰۲۵	۴۸/۳	۰/۰۵۹۵	۰/۰۰۰۶
آمریکا-سنگاپور	اول	۰/۰۳۸	۷۲/۵	۰/۰۶۲	۰/۰۷۳
	دوم	۰/۰۳۹	۷۵/۴	۰/۰۶۱۵	۰/۰۷۴
	سوم	۰/۰۱۸	۳۴/۸	۰/۰۷۷	۰/۰۳۲

جدول ۲: اندازه وابستگی دمی بالا در داده‌های نرخ ارز

کشورها	برآوردهای	$\frac{i}{n}$	i_0	$\hat{\lambda}_{u_{n,k}}^{(i)}(i_0)$	اختلاف برآوردها
آمریکا-تایلند	اول	۰/۹۵۴	۱۸۴۵/۵	۰/۶۰۴	۰/۰۰۴
	دوم	۰/۹۵۳	۱۸۴۲/۵	۰/۶۰۵	۰/۰۰۲
	سوم	۰/۹۵۷	۱۸۵۱/۵	۰/۶۰۴	۰/۰۰۱
آمریکا-مالزی	اول	۰/۹۵۷	۱۸۵۰/۵	۰/۶۷۳	۰/۰۰۶
	دوم	۰/۹۷۲	۱۸۸۰/۵	۰/۶۵۹	۰/۰۲۴
	سوم	۰/۹۷۳	۱۸۸۱/۵	۰/۶۷۵	۰/۰۳۲
آمریکا-سنگاپور	اول	۰/۹۶۲	۱۸۶۰/۵	۰/۶۱۴	۰/۰۰۱۷
	دوم	۰/۹۷۲	۱۸۸۰/۵	۰/۶۱۷	۰/۰۰۷
	سوم	۰/۹۶۹	۱۸۷۳/۵	۰/۶۲۳	۰/۰۰۰۹

۶ بحث و نتیجه‌گیری

در این مقاله سه برآوردهای جدید برای اندازه‌های وابستگی دمی بالا ارائه و ثابت شد که این برآوردهای سازگار و به طور مجانبی ناریب‌اند. در یک مطالعه شبیه‌سازی از سه مفصل خاص، خواص مجانبی برآوردهای مورد بررسی قرار گرفت و ملاحظه شد که اریبی برآوردهای سازگار با مفصل موردنظر تغییر می‌کند. همچنین در هر سه خانواده مفصل، اریبی برآوردهای نزدیک به هم بوده و با افزایش حجم نمونه، نمودارهای آن‌ها تقریباً منطبق بر هم می‌شود. انحراف معیار این سه برآوردهای نیز بسیار نزدیک به هم است. بنابراین با استفاده از شبیه‌سازی‌ها نمی‌توان بهترین برآوردهای نزدیک به هم تعیین کرد. پس تنها راه این است که بهترین برآوردهای سه مفصل را در حالت کلی تعیین کرد. بهترین برآوردهای سه مفصل را در این مطالعه روشنی جدید ارائه شد که در آن ابتدا بهترین مقدار k_0 که تابعی از n است، تعیین می‌شود. سپس (k_0) و $\hat{\lambda}_{l_{n,k}}^{(i)}$ بهترین مقدار را برای λ_l و λ_u تخمین می‌زنند. از طرفی کلایول و گاگن (۲۰۰۵)، یک مقدار تجربی را به عنوان بهترین مقدار k معرفی کرده‌اند. این مقدار که \hat{n} نام‌گذاری شده است، با استفاده از داده‌های موجود در مسئله و تعاریف λ_l و λ_u تعیین می‌شود. بهترین برآوردهای از نظر ما برآوردهایی است که مقادیر تقریباً یکسانی را در نقاط k_0 و \hat{n} اتخاذ کند.

تقدیر و تشکر

نویسندهای این مقاله از پیشنهادات ارزنده هیئت داوران محترم مجله و همچنین از قطب علمی داده‌های ترتیبی و فضایی دانشگاه فردوسی مشهد، کمال تشکر را دارند.

مراجع

- Coles, S. G., Heffernan, J. E. and Tawn, J. A. (1999), Dependence Measure for Extreme Value Analyses, *Extremes*, 2, 339-365.

- Caillault, C. and Guegan, D. (2005), Empirical Estimation of Tail Dependence Using Copulas: Application to Asian Markets, *Quantitative Finance*, **5**, 489-501.
- Dobric, J. and Schmid, F. (2005), Nonparametric Estimation of the Lower Tail Dependence in Bivariate Copulas, *Journal of Applied Statistics*, **32**, 387-407.
- Druet-Mari, D. and Kotz, S. (2001), *Correlation and Dependence*, Imperial College Press, London.
- Deheuvels, P. (1979), La fonction de dépendance empirique et ses propriétés. Un test non paramétrique d'indépendance, *Académie Royal de Belgique, Bulletin de la Classe des Science*, **65**, 274-292.
- Embrechts, P., McNeil, A. and Straumann, D. (2002), Correlation and Dependency in Risk Management: Properties and Pitfalls, in: M. A. H. Dempster(Ed), *Risk Management: Value at Risk and Beyond*, Cambridge University Press, 176-223.
- Embrechts, P., Lindskog, F. and McNeil, A. (2003), Modeling Dependence with Copulas and Applications to Risk Management, in Rachev, S.(Ed.), *Handbook of Heavy Tailed Distributions in Finance*, Elsevier, 329-384.
- Fermanian, J. D., Radulović, D. and Wegkamp, M. (2004), Weak Convergence of Empirical Copula Processes, *Bernoulli*, **10**, 847-860.
- Gumbel, E. J. (1960), Bivariate Exponential Distributions, *Journal of the American Statistical Association*, **55**, 698-707.

- Klein, L., Fischer, M. and Pleier, T. (2011), Weighted Power Mean Copulas: Theory and Application, *Discussion Papers, Department of Statistics and Econometrics University of Erlangen-Nurnberg, Germany.*
- Joe, H. (1997), *Multivariate Models and Dependence Concepts*, Chapman and Hal, London.
- Nelsen, R. B. (2006), *An Introduction to Copulas*, Springer, New York.
- Poulin, A., Huard, D., Favre, A. C. and Pugin, S. (2007), Importance of Tail Dependence in Bivariate Frequency Analysis, *Journal of Hydrologic Engineenng*, **12**, 394-403.
- Sibuya, M. (1960), Bivariate Extreme Statistics, *Annals of the Institute of statistical Mathematics*, **11(2)**, 195-210.
- Sklar, A. (1959), Fonctions de répartition à n Dimensions et Leurs Marges, *Publications of the Institute of Statistics, Université de Paris*, **8**, 229-231.